

# Об одном подходе к синтезу дискретно-непрерывных систем в среде MATLAB

Целью работы является рассмотрение нового метода построения оптимального регулятора в задаче среднеквадратичной оптимизации для дискретно-непрерывных систем и его реализация с помощью инструментальных средств MATLAB. Преимущество данного метода состоит в том, что он позволяет получать оптимальное управление по алгоритму, не требующему решения вспомогательного полиномиального уравнения. Существо метода поясняется на конкретном примере с указанием совокупности реализующих его функций. Статья предназначена для специалистов, занимающихся решением задач исследования и проектирования гибридных систем управления — систем, которые наиболее адекватно отражают реальные управляемые процессы. Она может быть полезна для аспирантов и студентов соответствующих специальностей при решении прикладных задач с применением системы MATLAB.

## 1. Введение

В настоящее время развитие автоматического управления характеризуется широким внедрением средств вычислительной техники при управлении непрерывными динамическими объектами и процессами. Системы, в которых непрерывный объект управляется цифровым регулятором, являются гибридными по своей природе, так как содержат непрерывные и дискретные элементы, которые описываются дифференциальными и разностными уравнениями соответственно. Более того, при рассмотрении в непрерывном времени они являются нестационарными, что исключает применение классических методов теории управления, разработанных для стационарных линейных непрерывных и дискретных систем. Выбор дискретных законов управления для непрерывных динамических объектов обеспечивается в настоящее время преимущественно одним из двух следующих способов.

1. Для исследуемой системы выбирается некоторый непрерывный закон управления, который затем заменяется дискретной аппроксимацией в соответствии с выбранной схемой численного интегрирования.

2. Дискретный закон управления находится по дискретной модели объекта.

Оба указанных подхода обладают принципиальными недостатками.

В первом подходе возникает вопрос о выборе способа дискретной аппроксимации непрерывного закона управления, что приводит к задачам не менее сложным, чем исследование исходной непрерывной системы.

Во втором подходе игнорируется межтактовое поведение системы, что в ряде случаев недопустимо. Кроме того, далеко не во всех случаях возможно построить дискретную модель объекта. Например, в тех случаях, когда внешнее возмущение приложено к непрерывным элементам системы, понятие дискретной модели вообще теряет смысл.

Одним из наиболее перспективных методов описания дискретно-непрерывных моделей, в которых непрерывный объект управляется цифровым регулятором, является метод, основанный на понятии параметрической передаточной функции (ППФ) [1], предложенный Е. Н. Розенвассером. Метод позволяет исследовать непрерывно-дискретные системы в частотной области и приводит к относительно простым алгоритмам анализа и синтеза. В работе К. Ю. Полякова [2] предложен метод синтеза оптимальных в смысле квадратичного функционала замкнутых систем стабилизации, основанный на применении специального множества стабилизирующих регуляторов. Задача сводится к решению полиномиального уравнения, из которого находятся полиномы, входящие в числитель и знаменатель передаточной функции оптимального регулятора. Будем придерживаться общего подхода и системы обозначений, введенных в работе [2].

В статье предлагается новый метод решения задачи квадратичной оптимизации одномерной замкнутой системы, который позволяет построить регулятор непосредственно по исходным данным без необходимости решения вспомогательного полиномиального уравнения по аналогии с подходом, принятым в работе [3].

## 2. Основные понятия и обозначения

Пусть  $T$  — интервал квантования,  $\omega_s = 2\pi/T$  — частота квантования. Для дробнорациональной передаточной функции  $F(s)$ , имеющей полюса  $s_i$  ( $i = 1, \dots, k$ ), введем обозначения

$$d_F(\zeta) = \prod_{i=1}^k (\zeta - e^{-s_i T}),$$

$$\delta_F = \deg d_F(\zeta) = k.$$

### Задача

Синтез оптимальных регуляторов дискретно-непрерывных систем.

### Программные средства

MATLAB  
Simulink  
Control System Toolbox  
Symbolic Math Toolbox

### Результаты

Метод построения регулятора в задаче среднеквадратичной оптимизации для гибридных систем.

Системы, в которых непрерывный объект управляется цифровым регулятором, являются гибридными по своей природе, так как содержат непрерывные и дискретные элементы, которые описываются дифференциальными и разностными уравнениями соответственно.

Будем использовать также дискретное преобразование Лапласа [4]

$$D_F(T, s, t) = \frac{1}{T} \sum_{k=-\infty}^{\infty} F(s + kj\omega_s) e^{(s+kj\omega_s)t},$$

$$D_F(T, \zeta, t) = D_F(T, s, t)|_{\exp(-sT)=\zeta}.$$

Как показано в работе [1], знаменателем функции  $D_F(T, \zeta, t)$  при любом  $t$  является полином  $d_F(\zeta)$ . Введем обозначения для произведения передаточных функций  $F(s)$  и  $G(s)$ :

$$d_{FG}(\zeta) = d_F(\zeta) \cdot d_G(\zeta),$$

$$D_{FG}(T, s, t) = \frac{1}{T} \sum_{k=-\infty}^{\infty} F(s + kj\omega_s) G(s + kj\omega_s) e^{(s+kj\omega_s)t}.$$

Для всех функций переменной  $s$ , которые фактически являются функциями от  $\zeta = e^{-sT}$ , в дальнейшем будем использовать обозначение

$$F(\zeta) = F(s)|_{\exp(-sT)=\zeta},$$

знак «\*» будет обозначать замену  $s$  на  $-s$ , а для функций переменной  $\zeta$  — замену  $\zeta$  на  $\zeta^{-1}$ .

Любой полином  $f(s)$ , не имеющий корней на единичной окружности, можно представить в виде  $f(\zeta) = f^+(\zeta)f^-(\zeta)$ , где  $f^+(\zeta)$  — устойчивый полином (не имеющий корней внутри и на границе единичного круга), а  $f^-(\zeta)$  — неустойчивый.

### 3. Постановка задачи

Аналогично [2], будем рассматривать непрерывно-дискретную систему управления, изображенную на рис. 1. Здесь объект управления состоит из двух звеньев с передаточными функциями  $F_1(s)$  и  $F_2(s)$ ,  $H(s)$  — передаточная функция привода,  $G(s)$  — динамическая обратная связь,  $W(\zeta)$  — цифровой регулятор с передаточной функцией

$$W(\zeta) = \frac{W_1(\zeta)}{W_2(\zeta)},$$

где  $W_1(\zeta)$  и  $W_2(\zeta)$  — полиномы, причем для физически реализуемого алгоритма управления  $W_2(0)$  не равно нулю. Внешними возмущениями являются  $\varphi(t)$  и помеха измерения  $m(t)$ , которые проходят через устойчивые формирующие фильтры  $F_\varphi(s)$  и  $F_m(s)$  соответственно. Сигналы  $\varphi(t)$  и  $m(t)$  описываются (без ограничения общности) как независимые единичные белые шумы. Передаточную функцию формирующего элемента обозначим через  $G_h(s)$  и будем считать, что используется фиксатор нулевого порядка, для которого

$$G_h(\zeta) = (1 - e^{-sT})/s.$$

Пусть  $z_y(t)$  и  $z_u(t)$  — сигналы, являющиеся результатом прохождения выходного сигнала  $y(t)$  и управляющего сигнала  $u(t)$  через устойчивые динамические фильтры с передаточными функциями  $V_1(t)$  и  $V_2(t)$  соответственно.

В качестве критерия квадратичной оптимизации примем функционал

$$I = \bar{z}_y^2 + \bar{z}_u^2 = \lim_{T \rightarrow \infty} \frac{1}{T} \int_0^T [z_y^2(t) + z_u^2(t)] dt.$$

Требуется найти регулятор с передаточной функцией  $W$ , обеспечивающий устойчивость замкнутой дискретно-непрерывной системы и минимум квадратичного функционала  $I$ .

### 4. Синтез оптимального регулятора

Как показано в [1], если  $\varphi(t)$  и  $m(t)$  — статистически независимые единичные белые шумы, то дисперсии сигналов  $z_y(t)$  и  $z_u(t)$  могут быть найдены по формулам

$$\bar{z}_y^2(t) = \frac{1}{2\pi j} \int_{-j\infty}^{j\infty} (W_{wy}(T, s, t)W_{wy}(T, -s, t) + W_{my}(T, s, t)W_{my}(T, -s, t)) ds, \quad (4.1)$$

$$\bar{z}_u^2(t) = \frac{1}{2\pi j} \int_{-j\infty}^{j\infty} (W_{wu}(T, s, t)W_{wu}(T, -s, t) + W_{mu}(T, s, t)W_{mu}(T, -s, t)) ds, \quad (4.2)$$

где  $W_{ij}(T, s, t)$  обозначает ППФ системы от входа  $i$  к выходу  $z_j$ ,

$$W_{wy}(s, t) = F_w F_2 [V_1 - G\Phi_{F_1 F_2 H V_1 G_h}(T, s, t)U],$$

$$W_{my}(s, t) = -F_m G\Phi_{F_1 F_2 H V_1 G_h}(T, s, t)U,$$

$$W_{wu}(s, t) = -F_w F_2 G\Phi_{H V_2 G_h}(T, s, t)U,$$

$$W_{mu}(s, t) = -F_m G\Phi_{H V_2 G_h}(T, s, t)U.$$

Здесь дробно-рациональная функция

$$U(s) = \frac{W}{1 + W D_{F_1 F_2 H G_h}(T, s, 0)}$$

представляет собой аналог функции чувствительности по управлению для непрерывных и дискретных систем.

Если подставить эти ППФ в (4.1) и (4.2) и вычислить средние дисперсии, то после дискретизации функционала с переходом к переменной  $\zeta$  получим интеграл

$$I = \frac{1}{2\pi j} \oint_{\Gamma} X(\zeta) \frac{d\zeta}{\zeta} \quad (4.3)$$

от некоторой квадратичной формы

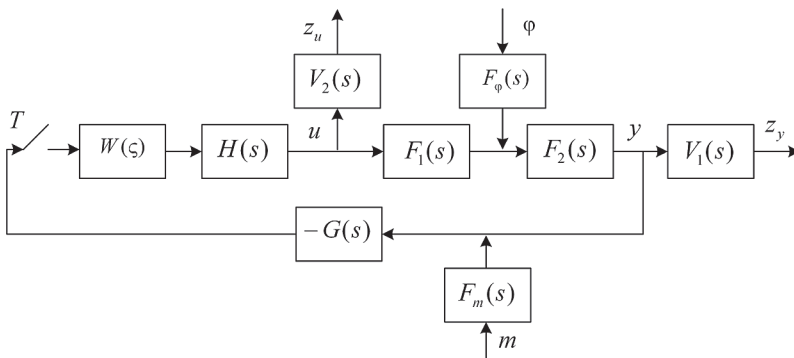
$$X(\zeta) = A U U^* - B U - B^* U^* + E,$$

где интегрирование ведется вдоль единичной окружности.

Будем считать, что справедливы следующие допущения.

1. Система невырождена, т. е. период  $T$  — непатологический, а передаточная функция разомкнутой системы  $F_1 F_2 H G$  является несократимой.

▼ Рис. 1. Блок-схема замкнутой дискретно-непрерывной системы.



2. Функция  $F_1 F_2 H G$  строго правильная.
3. Функция  $F_1 H G$  не имеет полюсов на мнимой оси.
4. Функции

$$A_1(s) = (F_\phi F_\phi^* F_2 F_2^* + F_m F_m^*) G G^*,$$

$$B_0(s) = F_\phi F_\phi^* F_2 F_2^* G V_1^* F_1 F_2 H V_1,$$

$$E_0(s) = F_\phi F_2 V_1$$

строго правильные.

5. Передаточные функции фильтров  $F_\phi$ ,  $F_m$ ,  $V_2$ ,  $V_1$  асимптотически устойчивы.

С учетом введенных выше обозначений можно записать

$$D_{A_1}(T, \zeta, 0) = \frac{\alpha_1}{d_{F_\phi F_m F_2 G} d_{F_\phi F_m F_2 G}^*},$$

$$D_{A_2}(T, \zeta, 0) = \frac{\alpha_2}{d_{F_1 F_2 H V_1 V_2} d_{F_1 F_2 H V_1 V_2}^*},$$

$$B(\zeta) = \frac{\beta}{d_{F_\phi F_1 F_2 F_2 H G V_1} d_{F_\phi F_1 F_2 F_2 H G V_1}^*},$$

$$E(\zeta) = \frac{\varepsilon}{d_{F_\phi F_2 V_1} d_{F_\phi F_2 V_1}^*},$$

где функции  $\alpha_1$ ,  $\alpha_2$ ,  $\beta$ ,  $\varepsilon$  — являются квазиполиномами, т. е. имеют вид

$$a_n \zeta^n + a_{n-1} \zeta^{n-1} + \dots + a_{-m+1} \zeta^{-m+1} + a_{-m} \zeta^{-m}.$$

Построим дискретную передаточную функцию разомкнутой системы

$$D_{F_1 F_2 Y G G_h} = \frac{n(\zeta)}{d(\zeta)},$$

где  $n(\zeta)$  и  $d(\zeta)$  — полиномы, причем  $n(0) = 0$  и  $d(\zeta) = d_{F_1 F_2 H G}(\zeta)$ . Далее найдем устойчивый полином  $g(\zeta)$  в результате факторизации

$$g g^* = \alpha_1 \alpha_2,$$

и пусть  $\delta$  — минимальное целое неотрицательное число, для которого функции

$$\eta_1(\zeta) = \beta^* d_{F_m V_2}^* \zeta^\delta, \quad \eta_2(\zeta) = g^* \zeta^\delta$$

суть полиномы. Как показано в работе [2], при выполнении этих условий оптимальный стабилизирующий регулятор  $W(\zeta)$  может быть найден как

$$W(\zeta) = \frac{W_1(\zeta)}{W_2(\zeta)} = \frac{d_1^+ d_{F_m V_2} N}{D},$$

где полиномы  $\{N, D, \pi\}$  являются минимальным относительно  $\pi$  решением системы уравнений

$$g^* \zeta^\delta N + \pi d_{F_\phi F_2 V_1} = \beta^* \tilde{d}_1^* d_{F_m V_2}^* \zeta^\delta;$$

$$g^* \zeta^\delta d_1^- D - \pi n d_{F_\phi F_m F_2 V_1} = \tilde{d}_1^- \omega,$$

при обозначении

$$d_1(\zeta) = d_{F_1 H G},$$

$$\omega(\zeta) = \frac{(g g^* - \beta^* n d_{F_m V_2} d_{F_m V_2}^*) \zeta^\delta}{d_{F_2}}.$$

Сформулируем аналогичное утверждение, которое позволяет построить оптимальное

управление непосредственно по исходным данным задачи.

Пусть выполняются условия 1–5, тогда функция оптимального стабилизирующего регулятора, минимизирующего критерий (4.3), имеет вид

$$W(\zeta) = \frac{W_1(\zeta)}{W_2(\zeta)},$$

где

$$W_1 = \frac{d_{F_m V_2} d_1^+ (\zeta^\delta \tilde{d}_1^- \beta^* d_{F_m V_2}^* - R d_{F_2 F_\phi V_1})}{g^* \zeta^\delta},$$

$$W_2 = \frac{g d_1^+ \tilde{d}_1^-}{d} - \frac{n (\tilde{d}_1^- \beta^* d_{F_m V_2} d_{F_m V_2}^* \zeta^\delta - R d_{F_\phi F_m F_2 V_1})}{g^* d_1^- d_{F_2} \zeta^\delta} = \frac{g d_1^+ \tilde{d}_1^- - n^* W_1}{d},$$

$$R(\zeta) = \sum_{i=1}^n \frac{P(\zeta) S(p_i)}{(\zeta - p_i) Q(p_i) P'(p_i)},$$

$$P(\zeta) = d_1^- g^* \zeta^\delta.$$

Здесь  $p_i$  — корни полинома  $P(\zeta)$  (предполагается, что они простые),

$$Q(\zeta) = d_{F_\phi F_m V_1 V_2} d_{F_2}.$$

Если  $p_i$  — корень полинома  $\zeta^\delta g^*$ , то

$$S(\zeta) = \tilde{d}_1^- \beta^* d_{F_m V_2} d_{F_m V_2}^* \zeta^\delta,$$

если  $p_i$  — корень полинома  $d_1^-$ , то

$$S(\zeta) = \tilde{d}_1^- \left( \beta^* d_{F_m V_2} d_{F_m V_2}^* - \frac{1}{n(p_i)} g g^* \right) \zeta^\delta.$$

Знак « $\sim$ » обозначает сопряженный полином, т. е. такой, в котором порядок следования коэффициентов обратный по отношению к исходному.

Заметим, что синтез оптимального регулятора по приведенным формулам удобно осуществлять в среде MATLAB по схеме, иллюстрируемой следующим примером.

### 5. Пример синтеза

Рассмотрим пример построения оптимального регулятора для следующих передаточных функций

$$F_2(s) = \frac{1}{s-1}, \quad F_1(s) = H(s) = G(s) = 1,$$

$$F_\phi(s) = 1, \quad F_m(s) = 0,$$

$$V_1(s) = 1, \quad V_2(s) = 0, \quad T = 1.$$

С помощью инструментальных средств пакета MATLAB находим

$$D_{F_2 G_h}(T, \zeta, 0) = \frac{n(\zeta)}{d(\zeta)} = \frac{(1-e)\zeta}{\zeta-e} = \frac{-1.7183\zeta}{\zeta-2.7183},$$

$$D_{A_1}(T, \zeta, 0) = \frac{(e-e^{-1})}{2(\zeta-e)(\zeta^{-1}-e)} = \frac{-3.1945}{(\zeta-2.7183)(\zeta^{-1}-2.7183)},$$

$$D_{A_2}(T, \zeta, 0) = \frac{0.47625(\zeta+0.25342)(\zeta+3.9461)/\zeta}{(\zeta-2.7183)(\zeta^{-1}-2.7183)},$$



$$D_{B_1}(T, \zeta, 0) = \frac{-0.6210\zeta^2 - 3.4220\zeta - 1.0302}{(\zeta - 2.7183)^2 (\zeta^{-1} - 2.7183)},$$

$$g = 0.62092\zeta + 2.4502,$$

$$R = 1.1406\zeta + 0.2284,$$

откуда следует

$$W_1 = -0.8859,$$

$$W_2 = -0.9014,$$

$$W = \frac{W_1}{W_2} = 0.9829.$$

Для вычисления дискретных передаточных функций  $D_{F_2G_h}(T, \zeta, 0)$ ,  $D_{A_a}(T, \zeta, 0)$ ,  $D_{A_2}(T, \zeta, 0)$ ,  $D_{B_1}(T, \zeta, 0)$  удобно применять следующие функции пакета прикладных программ Symbolic Math Toolbox:

- **ztrans** — z-преобразование от входного аргумента;
- **ilaplace** — обратное преобразование Лапласа;

```
function zet=zet(p)
syms s z w;
zet1 = ztrans(ilaplace(p));
zet = simplify(subs(zet1, z, sym('1/w')))
```

Таким образом, получаем

$$D_{F_2G_h}(T, \zeta, 0) = \text{zet}(F_2G_h) = \frac{-1.7183\zeta}{\zeta - 2.7183}.$$

Остальные дискретные передаточные функции считаются аналогично.

Для нахождения полиномов  $g$ ,  $R$  рационально использовать базовые функции пакета:

- **sym2poly** — преобразование символьного представления полинома в вектор, состоящий из полиномиальных коэффициентов,
- **conv** — полиномиальное умножение;
- **deconv** — полиномиальное деление;
- **roots** — поиск корней полинома;
- **numden** — выделение числителя и знаменателя в виде полиномов.

Последовательность функций, которая позволяет построить оптимальный регулятор для нашего примера, представлена в Приложении.

Для сравнения полученных результатов с традиционными методами синтеза удобно воспользоваться пакетом прикладных программ Control System Toolbox. Этот пакет позволяет построить оптимальные управления для непрерывного и дискретного случая с помощью следующих функций:

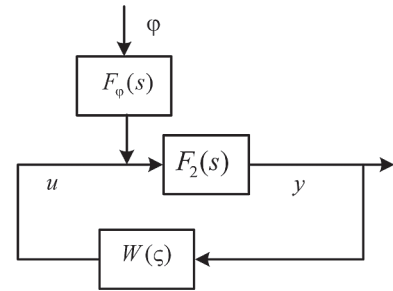
- **lqr** — синтез оптимального регулятора для непрерывной системы;
- **lqrd** — синтез оптимального регулятора для дискретной системы.

В нашем примере имеем:

```
num=1;
den=[1 1];
[numd,dend]=cp2dp(num,den,1,0)
[A,B,C,D]=tf2ss(num,den)
[Ad,Bd]=c2d(A,B,1);
[Kd,S,E]=lqrd(Ad,Bd,1,1,1)
[K,S,E]=lqr(A,B,1,1,0)
```

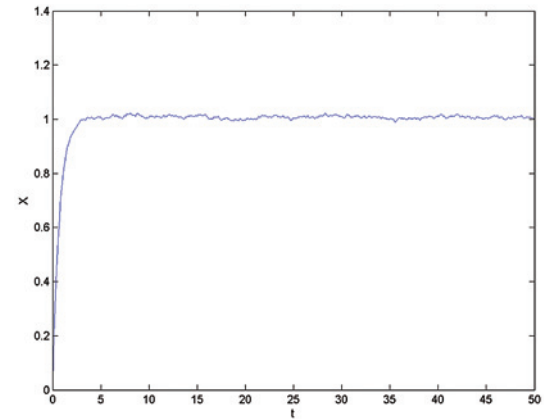
Используя пакет Simulink, мы можем наглядно сравнить поведение замкнутой системы с соответствующими оптимальными управлениями в непрерывной, дискретной и непрерывно-дискретной реализации.

Блок-схема непрерывной системы представлена на рис. 2.



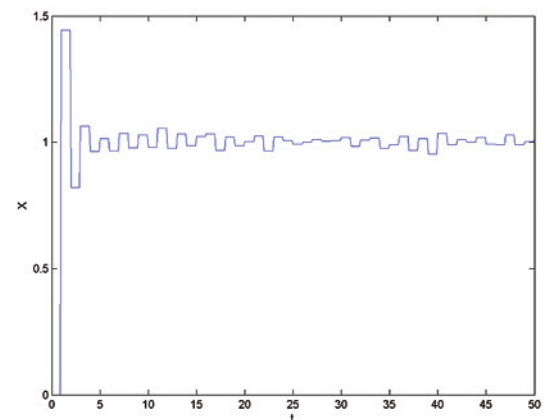
▲ Рис. 2. Блок-схема замкнутой непрерывной системы.

На рис. 3 показан переходный процесс по отработке единичного ступенчатого входного сигнала в синтезированной непрерывной системе при дополнительном подключении на вход аддитивного белого шума.



▲ Рис. 3. Переходный процесс для непрерывной системы.

На рис. 4 показан аналогичный процесс в соответствующей дискретной системе с шагом квантования  $T = 1$  с.



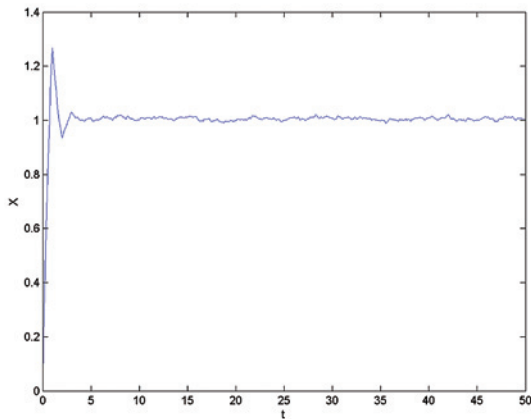
▲ Рис. 4. Переходный процесс для дискретной системы.

На рис. 5 представлен процесс, полученный для замкнутой дискретно-непрерывной системы, в которой использован регулятор, синтезированный описанным методом.





**Автор:**  
**Янковская Людмила Анатольевна**, аспирантка кафедры компьютерных технологий и систем; Санкт-Петербургский государственный университет, г. Санкт-Петербург



**Рис. 5.** Переходный процесс для дискретно-непрерывной системы.

Сравнение представленных графиков позволяет сделать вывод о том, что разработанный метод построения оптимального регулятора для дискретно-непрерывной модели не ухудшает поведение системы и обладает тем преимуществом, что передаточная функция оптимального регулятора может быть построена по представленному алгоритму без необходимости решения полиномиального уравнения.

**Литература**

1. Розенвассер Е. Н. Линейная теория цифрового управления в непрерывном времени.— М.: Наука, 1994.— 464 с.
2. Поляков К. Ю. Полиномиальный синтез цифровых систем управления непрерывными объектами // Автоматика и телемеханика.— 1998.— №10.— С. 76–89.
3. Веремей Е. И. Частотный метод синтеза оптимальных регуляторов для линейных систем со скалярным возмущением (Части 1, 2) // Известия вузов СССР. Электромеханика.— 1985.— №10, 12.
4. Волгин Н. Л. Оптимальное дискретное управление динамическими системами.— М.: Наука, 1986.— 239 с.

**Приложение**

```

syms s w x;
F2=1/(s+1);
F2_=subs(F2,s,sym('-s'));
[numF2,denF2]=numden(F2);
Gh=(1-exp(-s))/s;
F2Gh=zeta(Gh*F2);
[num,den]=numden(F2Gh);
r1=roots(sym2poly(num));
numnew=1;
lngth1=length(r1);
for i=1:lngth1;
    numnew=numnew*(w-r1(i));
end
r2=roots(sym2poly(denF2));
dennew=1;
lngth2=length(r2);
for i=1:lngth2;
    dennew=dennew*(w-exp(-r2(i)));
end
DD=dennew;
ko=deconv(sym2poly(num*dennew),...
    sym2poly(numnew*den));
numnew=numnew*ko;
NN=simplify(numnew);
A1=zeta(F2*F2_);
[num,den]=numden(A1);
r1=roots(sym2poly(num));
lngth1=length(r1);
numnew=1;
lngth1=length(r1);
for i=1:lngth1;
    numnew=numnew*(w-r1(i));
end
numnew=numnew/w^(lngth2);
dennew=1;
for i=1:lngth2;
    dennew=dennew*(w-exp(-r2(i)))*(1/w-...
        exp(-r2(i)));
end
ko=deconv(sym2poly(num*dennew),...
    sym2poly(numnew*den));
numnew=(numnew*ko);
ALFA1=simplify(numnew);
A2=simplify((1-w)*(w-1)*zeta(-F2*F2_/s/s)/w);
[num,den]=numden(A2);
r1=roots(sym2poly(num));
lngth1=length(r1);
numnew=1;
lngth1=length(r1);
for i=1:lngth1;
    numnew=numnew*(w-r1(i));
end
numnew=numnew/w^(lngth2);
dennew=1;
for i=1:lngth2;
    dennew=dennew*(w-exp(-r2(i)))*(1/w-...
        exp(-r2(i)));
end
ko=deconv(sym2poly(num*dennew*w^(lngth2)),...
    sym2poly(numnew*den*w^(lngth2)));
numnew=simplify(numnew*ko);
ALFA2=simplify(numnew);
B1=simplify((1-w)*zeta(F2*F2*F2_/s));
[num,den]=numden(B1);
r1=roots(sym2poly(num));
lngth1=length(r1);
numnew=num/w^(lngth2);
dennew=1;
for i=1:lngth2;
    dennew=dennew*(w-exp(-r2(i)))^2*(1/w-...
        exp(-r2(i)));
end
ko=deconv(sym2poly(num*dennew),...
    sym2poly(numnew*den));
numnew=(numnew*ko);
BETTA=simplify(numnew);
BETTA_=simplify(subs(BETTA,w,sym('1/w')));
gg=simplify(ALFA1*ALFA2*w);
gi=roots(sym2poly(gg));
lngthgi=length(gi);
k=0;
for i=1:lngthgi;
    if ABS(gi(i))>1;
        k=k+1;
        gk(k)=gi(i);
    end
end
g=poly2sym(poly(gk));
g_=subs(g,x,'1/x');
k1=sqrt(abs(deconv(sym2poly(gg),...
    sym2poly(g*g_*x))));
g=g*k1;
g_=g_*k1;
st=2;
P=g_*x^st;
pi_=roots(sym2poly(P));
Q=DD;
S=BETTA_*w^st;
lngthpi=length(pi_);
R=0;
for i=1:lngthpi;
    Spi=polyval(sym2poly(S),pi_(i))
    Qpi=polyval(sym2poly(Q),pi_(i))
    Ppi=polyval(sym2poly(diff(P)),pi_(i))
    R=R+deconv(sym2poly(P)*Spi/Qpi/Ppi,...
        [1 -pi_(i)]);
END
W1=deconv(sym2poly(S)-conv(R,sym2poly(DD)),...
    sym2poly(P))
W2=deconv((sym2poly(g)-...
    conv(sym2poly(NN),W1)),sym2poly(DD))
W=W1/W2
    
```